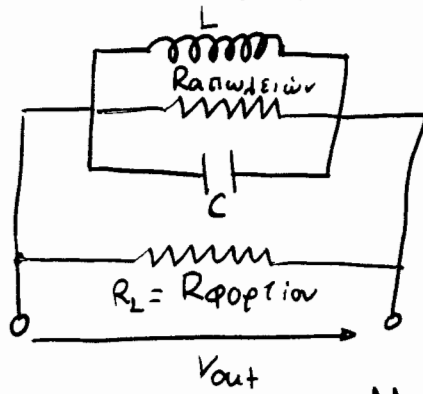
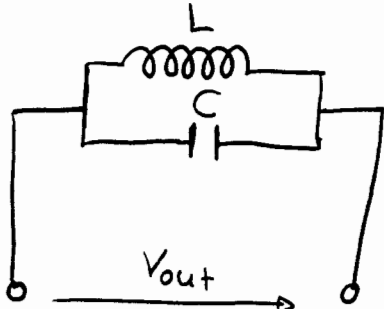


ΚΕΦΑΛΑΙΟ 6

	Σελίδα
Σχεδιασμός Μικροκυματικών Ταλαντωτών	
• Συνθήκες Έναρξης Ταλαντώσεων	6- 1
• Ταλαντωτής σαν Ενισχυτής με Ανάδραση	6- 2
• Ισοδύναμο Κύκλωμα Ιδανικού Ταλαντωτή	6- 3
• Συνθήκες Ταλάντωσης με S-Παραμέτρους	6- 4
• Στοιχεία Αρνητικής Αντίστασης	6- 5
• Ταλαντωτής Αρνητικής Αντίστασης	6- 6
• Λειτουργία Ταλαντωτή Αρνητικής Αντίστασης	6- 7
• Παράδειγμα Ταλαντωτή Διόδου Αρνητικής Αντίστασης	6- 9
• Εκτεταμένος Χάρτης Smith	6-10
• Συνδεσμολογίες FET για Σχεδιασμό Ταλαντωτών	6-11
• Συνθήκες Ταλάντωσης Δίθυρου Τρανζίστορ	6-14
• Παράδειγμα Σχεδιασμού Ταλαντωτή στα 4GHz	6-17
• Διαδικασία Σχεδιασμού Ταλαντωτών	6-18

Σχεδιασμός Ταχατωτών

- Ταχατωτής Είναι ένα κύκλωμα που μεταφέρει d.c. 16xv GE RF Ιδανικό Συντονισμένο Κύκλωμα



- Av το κύκλωμα αυτό διεγράφει το τέλος ενέργεια του da ταχατωτής μεταφέρει πίνια και αυτονόμη μεταφοράν από ηλεκτρική σε μαγνητική.

- Στο συντονισμό η ηλεκτρική και η μαγνητική ενέργεια (η 16xv) θα είναι ίσες

$$W_m = \frac{1}{2} L I^2 = \frac{1}{2} L \left(\frac{V}{X_L}\right)^2 = \frac{1}{2} L \frac{V^2}{\omega^2 L^2} = \frac{1}{2} \frac{V^2}{\omega^2 L}$$

$$W_e = \frac{1}{2} C V^2$$

$$W_m = W_e \quad \Rightarrow \quad \frac{1}{2} C V^2 = \frac{1}{2} \frac{V^2}{\omega^2 L}$$

Συντονισμός

$$\text{d} \rho \alpha \quad \omega_0 = \frac{1}{\sqrt{LC}}$$

Εναγγλακτικά με την 16xv:

$$P_m = \frac{1}{2} \frac{V^2}{X_L} = \frac{1}{2} \frac{V^2}{\omega L} \quad \left. \begin{array}{l} P_m = P_e \\ \downarrow \end{array} \right\} P_m = P_e$$

$$P_e = \frac{1}{2} \frac{V^2}{X_C} = \frac{1}{2} \frac{V^2}{1/\omega C} \quad \left. \begin{array}{l} \frac{1}{\omega L} = \omega_0 C \\ \downarrow \end{array} \right\} \omega_0 C$$

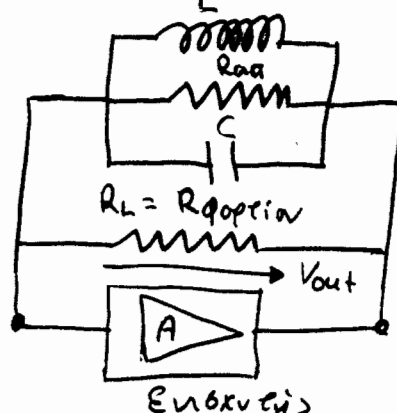
\Rightarrow Προβληματα:

- Ιδανικές στοιχεία L, C δεν υπάρχουν → έχουν απώλειες $\rightarrow R_{loss}$.
- Eras χρήσιμος ταχατωτής πρέπει να προβούσει καθολικό φορτίο $\rightarrow R_{qoptico}$

- Εάν δοθεί ενέργεια στο κύκλωμα αυτό μπορεί να σεκινήσουν ταχατωτές, οι οποίες όμως δια "θριγκών" αν η παροχή εφευρετικής ενέργειας διακοπεί



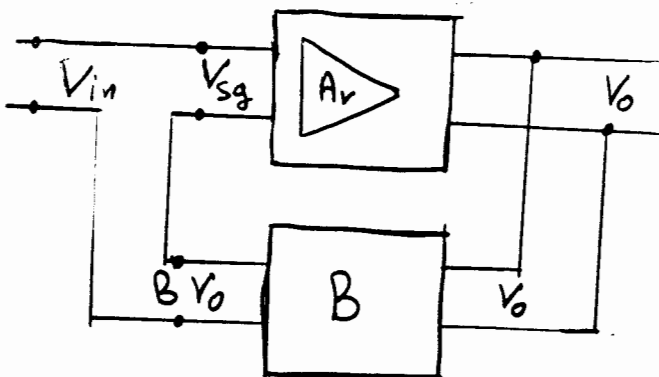
Είναι γοιαδύ αναπαραίηση μια εφευρετική πηγή ενέργειας που να προσδοτεί τις απώλειες των συντονισμένων.



Η αναπαραίηση (RF) λαμβάνεται από την d.c. πηγή των ενέργειών από μεταφορείς RF

Ταταρεύτης ή αναδρομής

ΕΝΙΣΧΥΤΗΣ ΜΕ ΑΝΑΔΡΑΜΗ



Δικτυο Αναδρομής

A_r = Κέρδος Ενισχυτή

B = Συντελεστής (Κέρδος ή απώλειες) αναδρομής:

$$V_{sg} = V_{in} + B \cdot V_0$$

$$V_0 = A_r \cdot V_{sg} = A_r \cdot V_{in} + A_r \cdot B \cdot V_0$$

$$\text{όπου: } V_0 = \frac{A_r}{1 - A_r B} V_{in} = A_{rf} \cdot V_{in}$$

Κέρδος κλειστού βρόχου

Μονιμή Καταίσχωση $\rightarrow A_{rf} = G_{cat}$.

• Ενισχυτής \leftrightarrow Αρνητική Αναδρομή

$$A_{rf} < A_r \Leftrightarrow -1 \leq B \leq 0$$

• Ταταρεύτης \leftrightarrow Θετική Αναδρομή

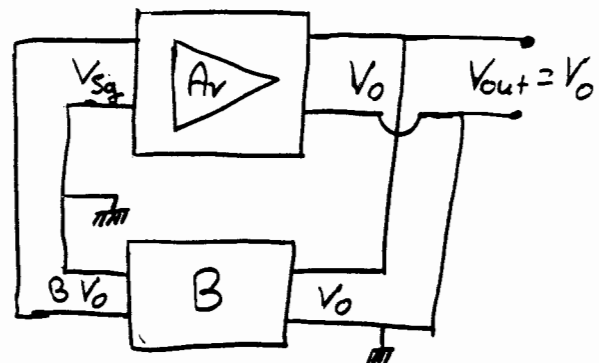
$$A_{rf} > A_r \Leftrightarrow 0 \leq B \leq 1$$

• Το Κριτήριο Autooscillations ταταρεύσεων προτιθέτει ότι έχουν λειτουργεί ταταρεύσεις. Για να γίνει οποιαδήποτε απαίτηση έχει "Εφωτερικό" γη σημα στην επιδιύκτηση συντονίζησης και ενισχυσης \rightarrow αύξηση των πλάτες των ταταρεύσεων μετριοποιητικά πλάτες.

"Εφωτερικό Σημείο" \rightarrow μπορεί να διευρύνεται ο δερμάτικος δόρυφος

"Ενισχυση των πλάτες" $\Leftrightarrow \begin{cases} A_{rf} > A_r \Leftrightarrow |A_r/(B)| > 1 \\ \text{Θετική Αναδρομή} \end{cases}$

ΤΑΠΑΝΤΩΤΗΣ



• Ενισχυτής με αναδρομή αλλά χωρίς ή.λ. εισόδο

$$V_{in} = 0$$

* Μονιμή Καταίσχωση

$$V_0 = A_r \cdot B \cdot X$$

$$\downarrow A_r \cdot B = 1$$

ΣΥΝΟΛΗΚΗ \rightarrow ΣΥΝΤΗΡΟΥΜΕΝΟΝ ΤΑΠΑΝΤΩΣΕΩΝ

Αλλα $A_r, B = \text{μη γαλικά} :$

$$|A_r| \cdot |B| = 1$$

$$\frac{|A_r|}{n} + \frac{|B|}{n} = n \cdot 2\pi$$

όπου $n = 0, 1, 2, \dots$

Κριτήριο Barkhausen : Autooscillations ταταρεύσεων.

2

Συνδικες Εραφτος Ταχαρτωσεων

- Αγου δεν υπάρχει εφαπτικός r.f. σημα, θα πρέπει να επιδιύκτεται συχνότητα να αναδυθεί από κάποια:
 - Υπάρχει θερμικός θόρυβος $I_{th} = KTB$ (η το R_n)
 $U_n = U_{rms} = \sqrt{4 KTB R_n}$ 6' ολες τις συχνότητες.
 - Τυχόν μεταβατικά σηματα (transients) επι�ινδικούνται απομονώσεις για μεγάλο χρόνο συχνούτηκτης.
 - Παραπομπής ημιπόρου $V_{in} = U_{n,rms} =$ ταΐζει θερμική θορύβο, ο οποίος επεκτείνεται όποια τα φαίνεται μεταξύ των εισιτηρίων $A_{voltage} = \frac{V_{out}}{V_{in}}$
 $K_U = \frac{A_{voltage}}{A_{current}}$ δικτυού, αφήνει να διέρχεται και να επεκτείνεται μεταξύ των εισιτηρίων \Rightarrow εγκαίρια αναδιέτατη τελική σημα την συχνότηταν αυτή.
- Συνδικες Εραφτος Ταχαρτωσεων:

$$A_{vf} > A_r : \text{Ενδικετεί την συνεχαστική αύξηση των πλάτων λειτουργίας}$$

$$\frac{A_{vf}}{A_r} = A_r / (1 - A_r B) \text{ και } V_o = A_{vf} \cdot V_{in}$$

\Downarrow

Ανατείται συνταγματική αναδιέτατη τελική σημα $0 \leq B \leq 1$.

$$|A_r| \cdot |B| > 1 \quad \text{αύξηση πλάτων ταχαρτωσεων}$$

$$\frac{1}{A_r} + \frac{1}{B} = n \cdot 2\pi \quad \text{λειτουργικής αρχοντικής κυκλώματος μεταξύ αποδοτικούς πολλαπλασιαστών κυκλώματος}$$

Συνδικες Αυτοευντηρούμενων Ταχαρτωσεων

- Καταστρέψει τη σημα εισόδου ο οποίος θερμεύεται στον κορεγμό, οπότε αρχίζει να μειώνεται το κερδός του
- Επι�ινδικεται οι ανώτερες τα κυκλώματα.

Επιστή:

$$A_{vf} \approx 1 \Rightarrow$$

$$|A_r| \cdot |B| = 1$$

Σε αδερφό πλάτων

$$\frac{1}{A_r} + \frac{1}{B} = n \cdot 2\pi$$

Σε αδερφό φαίνη

Συνδικές Ταχαντών και S-Παραλεπους:

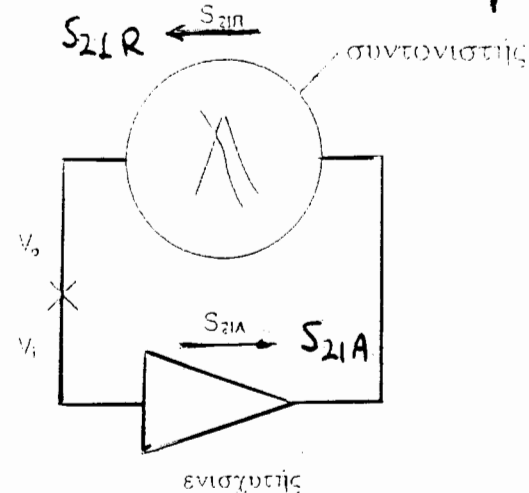
Έναρξη Ταχαντών

$$|S_{21A}| \cdot |S_{21R}| > 1$$

$$\angle S_{21A} + \angle S_{21R} = n \cdot 2\pi$$

Αυτογυνητούμενες Ταχαντ.

$$|S_{21A}| \cdot |S_{21R}| = 1$$

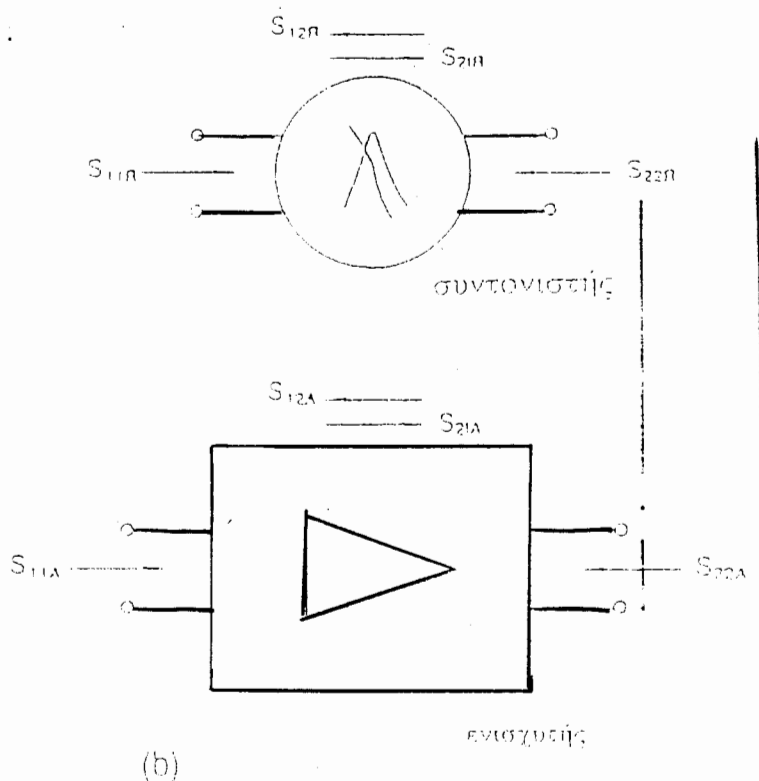


$$B \rightarrow S_{21R}$$

$$A_V \rightarrow S_{21A}$$

$$\angle S_{21A} + \angle S_{21R} = n \cdot 2\pi$$

$$n=0, 1, 2, \dots$$



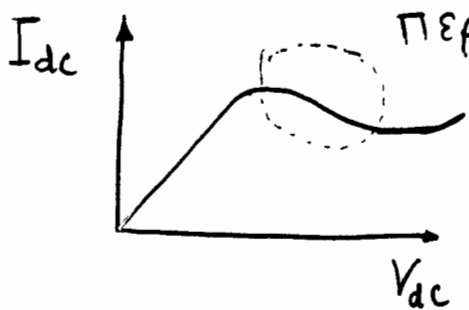
(b)

Σχήμα 8.4 Μπλοκ διάγραμμα ταχαντών με ανάδραση.

ΣΥΓΚΕΝΕΣ ΗΡΗΤΙΚΗΣ ΑΝΤΙΣΤΑΒΗΣ (Bartka §. 42)

- Αρνητική αντίσταση παρουσιάζουν μόνο κάποια Ενέργεια στοιχεία όχι όλως και αντίστροφα.

- 1) Μονόδυρες συγκενές όπως οι διόδοι GUNN και IMPATT παρουσιάζουν από τη φύση τους αρνητική αντίσταση:



Περιοχή αρνητικής αντίστασης διόδου Gunn.

Διαδοθεί στη διόδου αντίστασης αρκεί να εξαρκιστεί η κατάταξη DC στάσης για να συμπεριληφθούν σαν στοιχεία αρνητικής αντίστασης.

- Ο σχεδιασμός ταχαντέτη με διόδο Gunn ή IMPATT έγκειται από τον προβολοριθμό των κατατάξης φορτίου Z_L και το σχεδιασμό των κυκλικών προσαρμογών έτσι ώστε να παράγει μερικές ρείες μέχρι τη 100 mW και γενικότερα μέχρι τη 100 GHz .
- Ταχαντέτες Gunn ή IMPATT μπορούν να δώσουν 16x1 ετερόληπτο 100 mW και γενικότερα μέχρι τη 100 GHz .

- 2) Διόδη Ενέργεια στοιχεία όπως τα τρανζιστόρ δεν αρκεί μόνο να επιλογή της κατατάξης DC στάσης για την δικτυοργία αρνητικής αντίστασης, αλλα απαιτείται και κατατάξη κύκλων Αναδράσης σε θεραμβή ή παρατήρηση, μόλις απαιτείται συντήρηση δεσμών αναδράσης.

- Συνδεόντας 201 πόρον στη μία δίπα των τρανζιστόρ την κατατάξη σύνδεσης αντίστασης μεταφέρεται σε ένα 160 δύνατο κανόνερο με αρνητική πραγματική αντίσταση έτσι ώστε $\text{Re}(Z_{out}) < 0$
- Ουδιαστήκει το τρανζιστόρ να πρέπει να αδημάτει στην αστάση περιοχή, επιδιώκεται μάλιστα να μέρισται δυνατή αστάση.

Tajavtwnis Apnktikis Avrigzabns

Φορτιό

(Συντονισμένο
κύκλωμα)

$$jX_L$$

$$R_L$$

Z_L

(Γ_L)

Ενεργός

εποχείο αρντικής αντίστασης

Στη ΜΟΝΙΜΗ ΚΑΤΑΣΤΑΣΗ

Νόμος Βρόχων των Kirchhoff

$$(Z_L + Z_{in}) I_o = 0$$

$$I_o \neq 0 \Leftrightarrow Z_L + Z_{in} = 0$$

$$jX_{in}$$

$$R_{in}$$

Z_{in}

(Γ_{in})

- Προκειμένου το οδικό κύκλωμα Συντονιστή - Ενεργός εποχείο (κάτιστο συστήμα) να συμπεριληφθεί παρά την ιδανική Συντονισμένη κύκλωμα πρέπει:

→ Μηδένικες Απώλειες $\rightarrow R_T = R_L + R_{in} = 0$

→ Συντονισμένος επινυχισμένη Συχνότητα \rightarrow δηλαδή Tajavtwi -
-ης ως αποδημούμενης ενέργειας η οποία παρατηρείται \leftrightarrow μαγνητικής
καταΐσθιας ή ηλεκτρικής (η ηλεκτρικής ήλεκτρικής):

$$\text{Έστω } jX_L = \text{επαργυρή αντίσταση} \quad \text{και } -jX_C = \text{καρπούλη αντίσταση}\newline \text{ήλεκτρικής } P_m = P_e \rightarrow \frac{1}{2} \frac{V^2}{(jX_L)} = \frac{1}{2} \frac{V^2}{(-jX_C)} \rightarrow jX_L = -jX_C \rightarrow$$

$$jX_L + jX_C = 0 \rightarrow \text{δεν ικανοποιεί } jX_L = jX_T = 0 \Rightarrow \boxed{jX_L + jX_{in} = 0}$$

Για τη αντίσταση κύκλωμα

⇒ Μόνιμη Καταγραφή \leftrightarrow Συνδικές Αυτογυνητοποίησης
Tajavtwi ενέργειας:

$$\left\{ \begin{array}{l} R_T = R_L + R_{in} = 0 \\ X_T = X_L + X_{in} = 0 \end{array} \right\} \Leftrightarrow \begin{array}{l} Z_T = 0 \\ Z_L + Z_{in} = 0 \end{array}$$

Συντονιστής (Φορτίο) = Παραγγικός εποχείο $\rightarrow R_L > 0$

$$\text{Έτσι: } R_L + R_{in} = 0 \mid R_L > 0 \Leftrightarrow R_{in} < 0 \rightarrow R_{in} = -R_L$$

Το Ενεργός εποχείο πρέπει να παραβιάζει την ανατατική
αρντική αντίσταση.

Λειτουργία Ταχαρτών Αριθμητικούς Αυτοστάθμ.

(Ποζαρ Γελ. 634)

- Η λειτουργία των ταχαρτών: Αναλυτή ταχαρτών και στη συνέχεια η διατύπων γεωργική πλάτευση βασίζεται στη μη μηχανική διαδικασία των ενέργειών στοιχείων αριθμητικούς αυτοστάθμ.
- Γενικά η σύνθετη αυτοστάθμη των ενέργειών στοιχείων εξαπλώνεται σαν συνθήκη ως
 $Z_{in}(I, j\omega) = R_{in}(I, j\omega) + j X_{in}(I, j\omega)$

Συνδικές Ενέργειας Ταχαρτών:

Προκειμένου να αναδυθεί η επιδρούση συνθήκης αυτού του δόρυφου (η οποία μεταβατικοί συμματα) πρέπει να νιώθεται περιβεία ενέργειας $Re(Z_T) < 0 \iff | -R_{in} | > R_L$

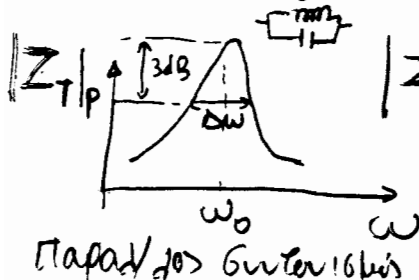
Καθώς αναπτύγονται ταχαρτώνες ↔ αντανακλατόρες το πείρα I ή $R_{in}(I, j\omega)$ γίνεται διγύριστη αριθμητική, οπού το πείρα I τείνει να γίνεται πολύ μεγάλη, μετρητής παραγγελμάτων:

$$R_{in}(I, j\omega) + R_L = 0 \quad \text{και} \quad X_{in}(I, j\omega) + X_L(j\omega) = 0$$

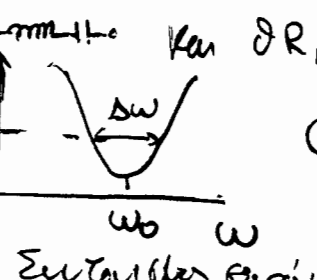
Συνδικές Αυτογυνητρούμενων Ταχαρτών:

Πρόβλημα! Πώς επαγγελτίζεται οτι: αφού το κύλινδρικό στοιχείο Z_{in} στη συνδικήση ποικιλούς καταστάσεων $Z_{in} + Z_L = 0$
 θα παρατίνει σταθερή και θα παρατίνει επισταθερή ταχαρτών;
 Δηλαδί πώς θα αντιστεψτει καποια διατάξη στην δI ?
 Αυτό επαγγελτίζεται με την χρήση ενός συγκονιστήρα
 κυκλικής υγρότου $Q \gg$ σαν φορτίο (\rightarrow ο σύντομος επαναλόγος)
 Εφαρμόζοντας διατάξη στην δI πρέπει: $\frac{\delta(X_L + X_{in})}{\delta \omega} \gg 0$

Ποζαρ Γελ. 634 - 635



Παραδίγματα συνδικήσεων



Συνδικές συνδικών

$$Q = \frac{\omega_0}{\Delta \omega} = \frac{Re(Z_{TP})}{Im(Z_{TP})} = \frac{Im(Z_{TS})}{Re(Z_{TS})}$$

Tajavteres Apantikis Avtistis

A. Συνδικες Εναρφης Tajavteres:

$$\textcircled{1} \ Re(Z_T) < 0 \Leftrightarrow | -R_{in}(I, j\omega) | < R_L \rightarrow \begin{array}{l} \text{Αυτη η σύνδικη} \\ \text{Tajavteres} \end{array}$$

$$\textcircled{2} \ Im(Z_T) = 0 \Leftrightarrow X_{in}(I, j\omega) = X_L(j\omega) \rightarrow \text{Συντονίσιος}$$

Συγκεκινη απωτικης αντιπροσωπευτης $Z_{in}(I, j\omega) = -R_{in}(I, j\omega) + jX_L(I, j\omega)$

Συντονίση + Φορτιο : $Z_L(j\omega) = R_L + jX_L(j\omega)$

$$\text{Ολικη κινητη} Z_T = Z_{in} + Z_L$$

* Πρακτικη Επιμορφη Φορτιου

1) \rightarrow Σημαντικαι η μεγιστοσηνη της απωτικης αντιπροσωπευτης των ενεργων σταχεια $-(R_{in})_{max}$

2) \rightarrow Απαιτειται η κανονικη περιγερα ενεργειας:

$$(\text{Pozar Ex. 636}) \text{ Συνιδωσ} : R_L = \frac{| -R_{in} |}{3}$$

;) Yedelin Ex. 390 : $R_L \approx 0.8 | -R_{in} | \Leftrightarrow | -R_{in} | \approx 1.2 R_L$

B. Συνδικες Αυτοβυντηρούμενων Tajavteres:

$$\textcircled{3} \ Re(Z_T) = 0 \Leftrightarrow | -R_{in}(I_0, j\omega) | = R_L \rightarrow \begin{array}{l} \text{Επιδιόρθωση} \\ \text{πλατινη} \end{array}$$

$$\textcircled{4} \ Im(Z_T) = 0 \Leftrightarrow X_{in}(I_0, j\omega) = X_L(j\omega) \text{ Συντονιση}$$

Pozar Ex. 636. \leftrightarrow Τιμη X_L :

H τελικη συνδικη ταξινωμης ωσ παρ καθοριζεται απο την εφιγων $\textcircled{4}$ μηδει γενικα τα διαφέρει απο την συνδικη εναρφης των ταξινωμενων παρ καθοριζεται απο την $\textcircled{2}$ επειδη η $X_{in}(I, j\omega)$ εφαρμοζεται και απο τη πευκη I (μη γραμμητη) το οποιο απαιτει απο $I \sim 0$ GE $I \sim I_0$

C. Εφιγων Ευστασιας Νεικευσιας Tajavteris

$$\text{Pozar Ex. 635} \quad \left. \begin{array}{l} \frac{\partial R_T}{\partial I} \frac{\partial X_T}{\partial \omega} - \frac{\partial X_T}{\partial I} \frac{\partial R_T}{\partial \omega} > 0 \end{array} \right\} \text{Παιγνιδει φορτια} \\ \text{Bharat Ex. 435} \quad \left. \begin{array}{l} \frac{\partial R_T}{\partial I} / \frac{\partial R_T}{\partial \omega} = \frac{\partial R_L}{\partial \omega} = 0 \end{array} \right\} \frac{\partial R_T}{\partial I} = \frac{\partial R_{in}}{\partial I}, \quad \frac{\partial R_T}{\partial \omega} = \frac{\partial R_{in}}{\partial \omega}$$

$$X_T = X_L + X_{in}$$

$$\frac{\partial R_T}{\partial I} = \frac{\partial R_{in}}{\partial I}, \quad \frac{\partial R_T}{\partial \omega} = \frac{\partial R_{in}}{\partial \omega}$$

Παραδείγμα: Ταχαντος Διόδου Αρνητικής Αντίστασης.

$$\Delta \text{Εδοφένα: } R_{in} \Big|_{\Delta \text{ιόδος}} = 1.25 \angle 40^\circ \text{ για } Z_0 = 50\Omega, f = 66 \text{ Hz}$$

Να βρεθεί αρνητική ταχαντος $f = 66 \text{ Hz}$ με αντίσταση εφεδα 50Ω .

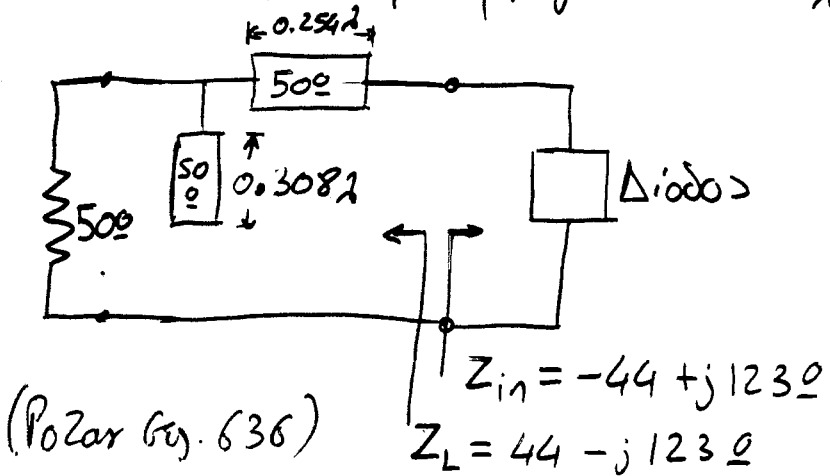
$$\Sigma \text{ύνδεσης αντίστασης διόδου: } Z_{in} = Z_0 \frac{1 + R_{in}}{1 - R_{in}} = -44 + j123\Omega$$

Απαιτούμενη συνθήκη αντίστασης φορτίου: Z_L

$$\text{Μόνηκαν } \left\{ R_L = | -R_{in} | = 44\Omega \right.$$

$$\text{Καταβλέπων } \left\{ X_L = -X_{in} = -123\Omega \right\} Z_L = 44 - j123\Omega$$

Kuklou Προβατηρίου - Τοποθετία Ταχαντού



Συγχέτικη Καρούκα Ποινής Αντίστασης - Αγωγήματα και Συνεργεία Αντίστασης

$$Z_{in} = Z_0 \frac{1 + \Gamma_{in}}{1 - \Gamma_{in}}$$

$$Y_{in} = \frac{1}{Z_{in}} = Y_0 \frac{1 - \Gamma_{in}}{1 + \Gamma_{in}}$$

Καρούκα Ποινής:

$$\frac{Z_{in}}{Z_0} = \frac{R_{in}}{Z_0} + j \frac{X_{in}}{Z_0} = \Gamma_{in} + j X_{in}$$

$$\frac{Y_{in}}{Y_0} = \frac{G_{in}}{Y_0} + j \frac{B_{in}}{Y_0} = g_{in} + j b_{in}$$

ΘΕΤΟΥΣ:

$$\Gamma_{in} = |\Gamma_{in}| e^{j\theta}$$

$$= |\Gamma_{in}| \cos \theta + j |\Gamma_{in}| \sin \theta$$

Και πολλούς φορές επι, τα συγγρήματα διαδικούνται πάνω στη διαλεπισθή απαγνωτικότητα - φαντασία:

$$\Gamma_{in} = \frac{1 - |\Gamma_{in}|^2}{1 - 2|\Gamma_{in}| \cos \theta + |\Gamma_{in}|^2}$$

$$g_{in} = \frac{1 - |\Gamma_{in}|^2}{1 + 2|\Gamma_{in}| \cos \theta + |\Gamma_{in}|^2}$$

$$X_{in} = \frac{2|\Gamma_{in}| \sin \theta}{1 - 2|\Gamma_{in}| \cos \theta + |\Gamma_{in}|^2}$$

$$b_{in} = \frac{-2|\Gamma_{in}| \sin \theta}{1 + 2|\Gamma_{in}| \cos \theta + |\Gamma_{in}|^2}$$

Αποντίκαι Αντίσταση -

$$\Gamma_{in} < 0 \Leftrightarrow |\Gamma_{in}| > 1$$

Αποντίκαι Αγωγήματα

$$g_{in} < 0 \Leftrightarrow |\Gamma_{in}| > 1$$

Εκτεταμένος Χαρτος Smith

Προκύπτει από την διεύθιση των γεωμετρικών τοπων
(Κ.Σ.Κ.Δ.ων):

$$\underline{\Gamma_{in} = G_{in} + j B_{in}}$$

$$\underline{g_{in} = G_{in} + j B_{in}}$$

Χαρτος Γεωμετρικών αντίστασην

Χαρτος Γεωμετρικών αγωγήματων

Εκτελέσμενος Χάρτης Smith ↔ Αποτίκης Αντιγράφων

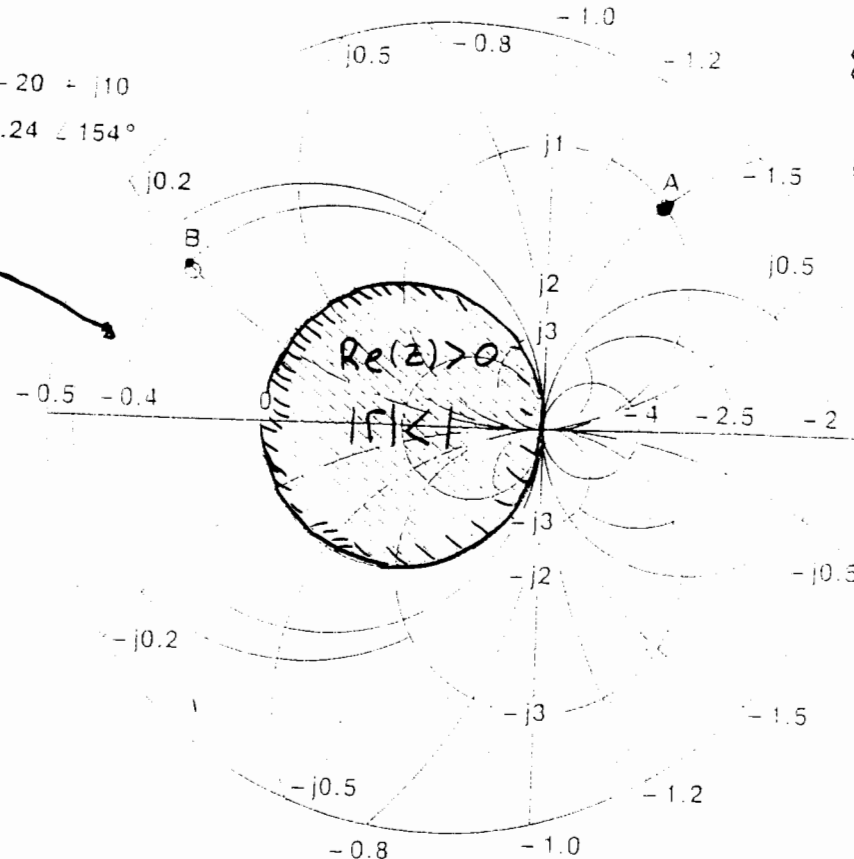
π.χ.
Σημείο B:

$$Z_B = -20 + j10$$

$$F_B = 2.24 \angle 154^\circ$$

$$\operatorname{Re}(z) < 0$$

$$|\Gamma| > 1$$



π.χ.
Σημείο A:

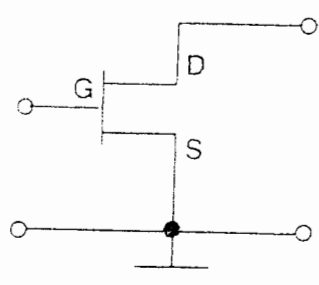
$$Z_A = -75 + j50$$

$$F_A = 2.24 \angle 41^\circ$$

Figure 9.1 Extended Smith chart.

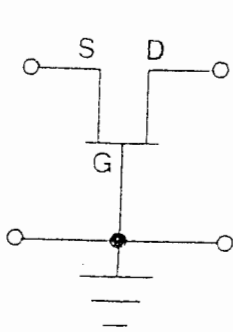
Συνδεσμολογίες Τρανζιστόρ FET (Bhartia Fig. 429)

Κοινής Πηγής



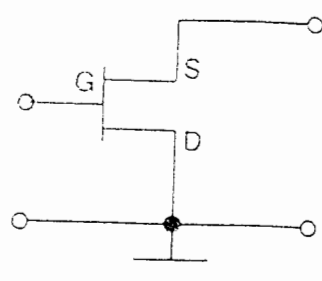
Ενισχυεί, ταχυύτης
(a)

Κοινής Πύργου



Ταχυύτης, εργασίας σώματος
(b)

Κοινού αποταμίας



Ταχυύτης μέγιστης
(c) 16X10³

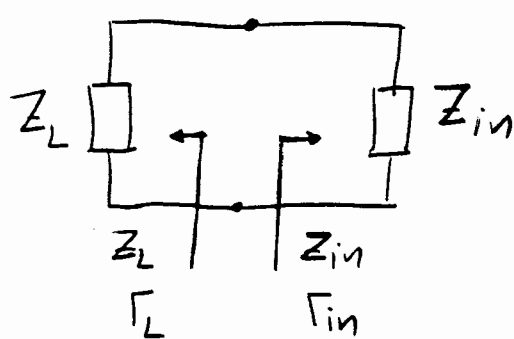
Figure 9.2 Three configurations of the transistors. (a) Common source. (b) Common gate. (c) Common drain.

Τυπικές συνδεσμολογίες ταχυτών για τρανζιστόρ:

FET { Κοινής Πηγής
Κοινής Πύργου

Διπολικά { Κοινού Εκπομπών
BJT { Κοινή Βάσης

Συνδικες Ταχανων Αρνητικης Αντιστασης με
τη βοηθεια Συντελεστων Αναλιγματων:



Όπου
 $\operatorname{Re}(Z_{in}) < 0 \Leftrightarrow |\Gamma_{in}| > 1$

Συνδικη Αυτοσυνηρούμενων Ταχανωγεων: $Z_T = Z_L + Z_{in} = 0$

$$\boxed{Z_L = -Z_{in}} \Leftrightarrow Z_0 \frac{1 + \Gamma_L}{1 - \Gamma_L} = -Z_0 \frac{1 + \Gamma_{in}}{1 - \Gamma_{in}} \rightarrow$$

\downarrow

$$\boxed{\Gamma_{in} \Gamma_L = 1} \Leftrightarrow |\Gamma_{in}| = \frac{1}{|\Gamma_L|} \text{ και } \angle \Gamma_{in} + \angle \Gamma_L = n \cdot 2\pi$$

Συνδικης Εναφης Ταχανωγεων: $n = 0, 1, 2, \dots$

$$|\operatorname{Re}(Z_{in})| > \operatorname{Re}(Z_L) \Leftrightarrow |\Gamma_{in}| > \frac{1}{|\Gamma_L|}$$

\Downarrow

$$\operatorname{Re}(Z_T) = \operatorname{Re}(Z_L + Z_{in}) < 0 \Leftrightarrow |\Gamma_L| |\Gamma_{in}| > 1$$

$$\angle Z_T = \angle Z_L + \angle Z_{in} = n \cdot 2\pi \Leftrightarrow \boxed{\angle \Gamma_L + \angle \Gamma_{in} = n \cdot 2\pi}$$

\Downarrow

$$X_L + X_{in} = 0$$

Πρακτικη Επιλογη συνδικης εναφης Ταχανωγεων

1) Μεταβαζεται το λειτουργικα αναδραση μεχρι ότου
επιτευχθη ασταθεια και μεταβαται μεγιστο ποιηση σε
συντελεση αναδρασης για πραγματικο (Γ_{in})_{max}

2) Επιλεγεται το κατιαγγελο φορτη $\Gamma_L =$; ως:
 $|\Gamma_{in}| \cdot |\Gamma_L| \approx ; 2;$ $\Leftrightarrow |-\Gamma_{in}| \approx 3 R_L$

To Τριπορτής Γεν 3-Θυρό.

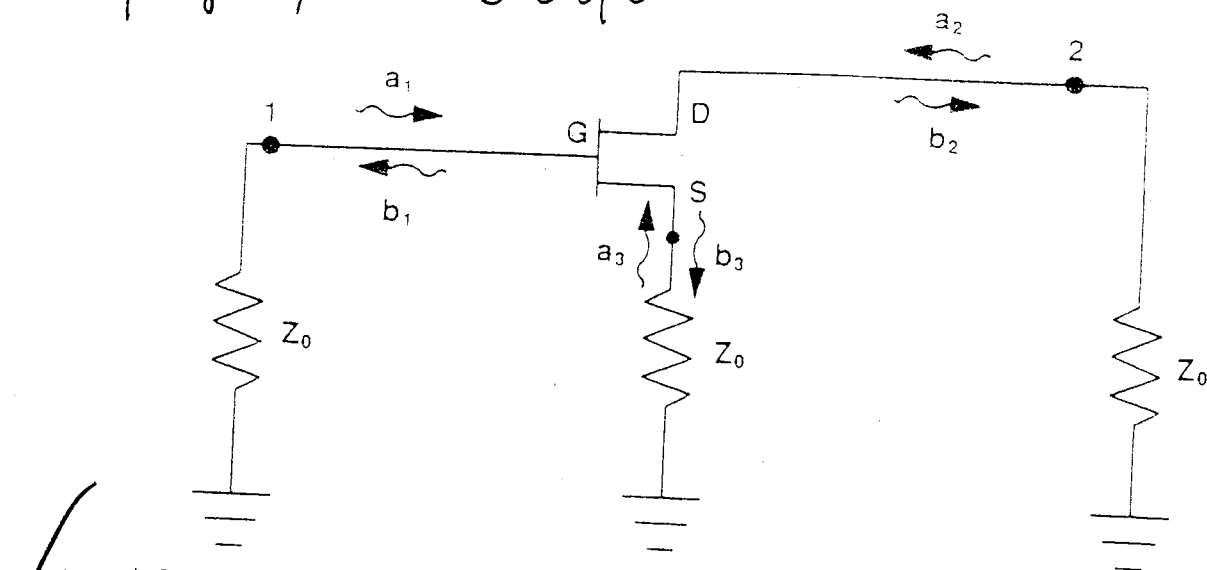


Figure 9.3 Transistor as a three-port device.

$X_{PnG1} \mu m$
 $18.107 \mu m^2 A$ $\sum_{j=1}^3 S_{ij} = 1 \quad \text{for } i=1, 2, 3.$ $X_{PnG1} \mu m$ στα προβλήματα και διάρθρωση των αυτοκυκλικών γεωμετριών στα μεταβολικά.

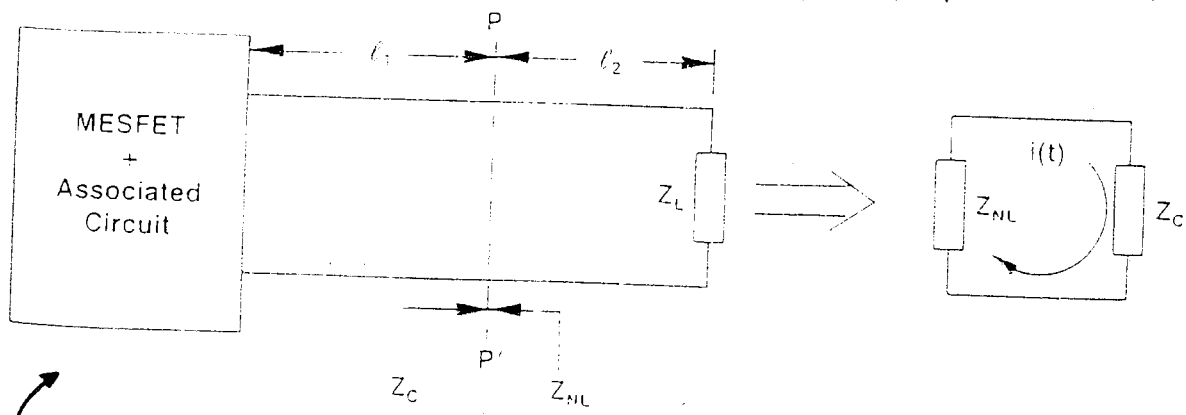


Figure 9.4 Nonlinear microwave oscillator.

To Τριπορτής Γεν μη-γεωμετρικού Ταχαντίου

Εντοπισμός Τοποθεσίας Ταχαντίου

$$\begin{aligned} [b'] &= [a] \\ [b] &= [a'] \end{aligned}$$

Bartia
Fig. 432

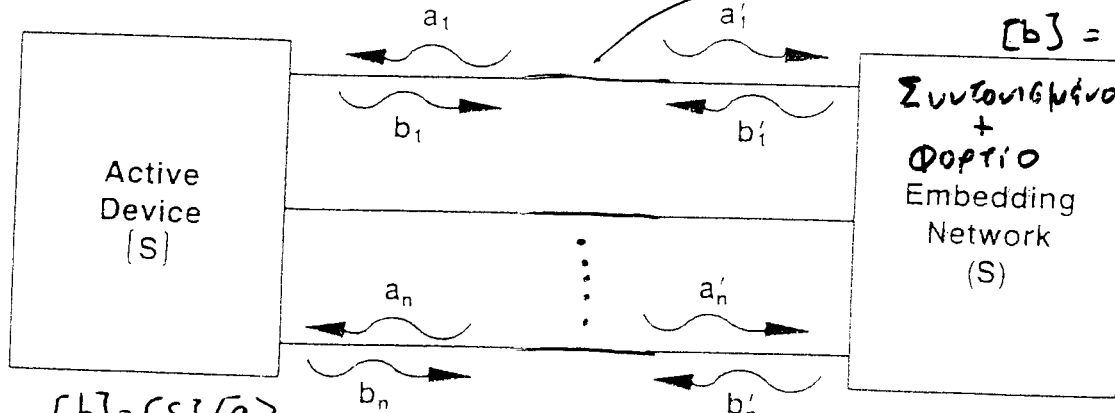


Figure 9.5 Generalized oscillator configuration.

Συνδικάτη Ταχαντίου - Συναρτήσεις $\left([SS][S'] - [I] \right)[a'] = 0$
 $[a'] = [b] = [S][a] = [S][b'] = [S][S'][a'] \quad \left\{ [a'] \neq 0 \rightarrow \det([SS][S'] - [I]) = 0 \right.$

Συνδικέσεις Ταχαντών - Συντονισμός και Διάρρηξης Τρανζίστορ

$$\Delta \text{Δύο - Τρανζίστορ: } [S] = \begin{bmatrix} S_{11} & S_{12} \\ S_{21} & S_{22} \end{bmatrix} \quad \text{Ιντεραντενερία + Φορτίο } [S'] = \begin{bmatrix} \Gamma_1 & 0 \\ 0 & \Gamma_2 \end{bmatrix}$$

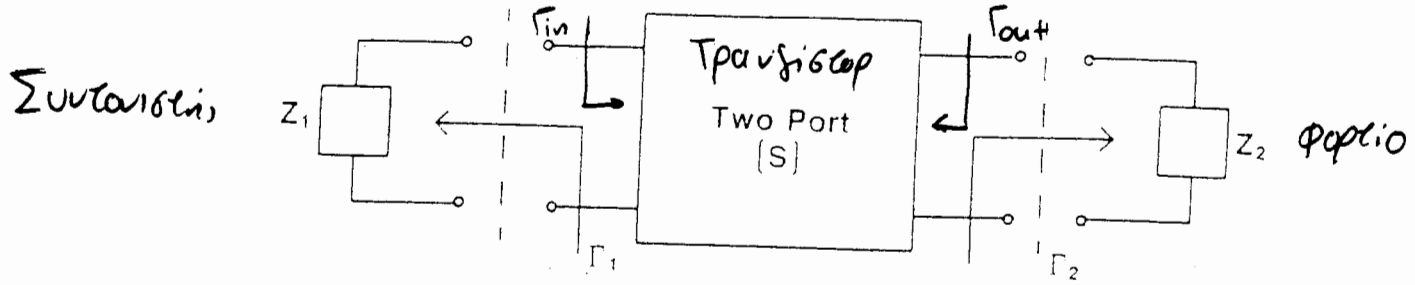


Figure 9.6 Two-port loaded with two impedances. (Bhartia Fig. 43G)

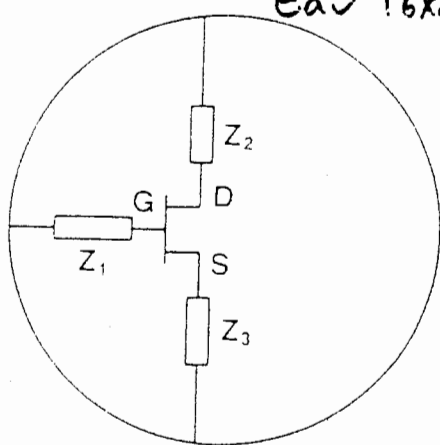
Συνδικέσεις Ταχαντών στη Μόνιμη - Καταγόρων:

$$\det[M] = \det([S][S'] - [I]) \Big|_{I=[\Gamma_1 \Gamma_2]} = \det \begin{bmatrix} S_{11}\Gamma_1 - 1 & S_{12}\Gamma_2 \\ S_{21}\Gamma_1 & S_{22}\Gamma_2 - 1 \end{bmatrix} = 0$$

$$\rightarrow (S_{11}\Gamma_1 - 1)(S_{22}\Gamma_2 - 1) - S_{21}S_{12}\Gamma_1\Gamma_2 = 0$$

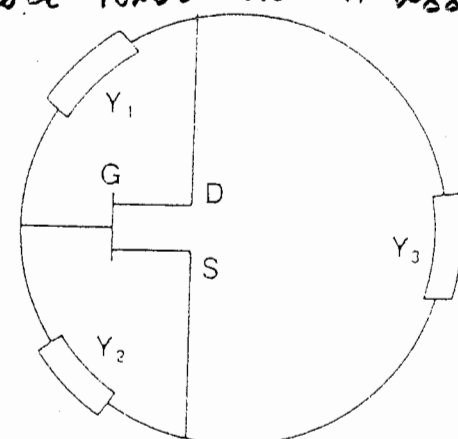
$$\Gamma_{in} = S_{11} + \frac{S_{12}S_{21}\Gamma_2}{1 - S_{22}\Gamma_2} = \frac{1}{\Gamma_1} \quad \text{&} \quad \Gamma_{out} = S_{22} + \frac{S_{12}S_{21}\Gamma_1}{1 - S_{11}\Gamma_1} = \frac{1}{\Gamma_2}$$

Εάν 16X0EI να μια τελε 16X0EI και ν αύξη



Τύπος Σειράς

Figure 9.7 General transistor oscillator configurations. (a) Series type. (b) Parallel type.



Παράλληλος Τύπος

Γενικευμένες Τοποδοχές Ταχαντών Τρανζίστορ (Bhartia Fig. 43G).

Mia allo τα γύριτες αντιστάσεις Z_1 , Z_2 , Z_3 αντιπροσωπεύουν το φορτίο (ή μια allo τα αγωγή μόντες Y_1 , Y_2 , Y_3). Ta eisa δέο στοιχεία είναι αργά - αντιστάσεις (L & C).

Συνδικες Ταγανρέμνη Τπανγιότοπ { Kharstia 3.4.26
Pozargos. 637

A. Συνδικαλ Αυτογνωμονίες και Ταχανγέρες

APKE ! :

$$(S_{11} \Gamma_1 - 1) (S_{22} \overset{\circ}{\Gamma}_2 - 1) - S_{21} S_{12} \Gamma_1 \Gamma_2 = 0$$

Практика

$$\Gamma_{in} = S_{11} + \frac{S_{12} S_{21} \Gamma_2}{1 - S_{22} \Gamma_2} = \frac{1}{\Gamma_1} \quad \leftrightarrow \quad \Gamma_{out} = S_{22} + \frac{S_{12} S_{21} \Gamma_1}{1 - S_{11} \Gamma_1} = \frac{1}{\Gamma_2}$$

PDFUS

$$③ u_+ = S_{22} + \frac{S_{12}S_{21}\tau_1}{1 - S_{11}\tau_1} = \frac{1}{\tau_2}$$

Πρόκειται για δύο Ιεροδιάκονους Γουδικές, η μία αποκαλείται
από την αρχή και οι δύο αναγορεύεται στην ①. Πρόκειται
ουγιαγτική για την Γουδικήν Εντονούσιαν με επαρκεία πλάτος
Πρακτικής, αυτό επικαινείται ότι αν ο Γουδικός Γουδετής
στη Δύρα-1 και έφαγε πάντες η Γουδικήν αυτούντης παραίτησην
τα δακτυλίων \Rightarrow τότε και στη Δύρα-2 ο που θα Γουδετής
το ψόφιο (Έργος ταξιδεύει) θα εκπαιγταίνει ήδη ταξιδεύει.

ԱՌԵՎՈՐԱԿԱՆ ՏԱՐԱՎԻՑԱ

$$|\Gamma_{in}| \cdot |\Gamma_1| = 1 \quad \text{and} \quad |\Gamma_{out}| \cdot |\Gamma_2| = 1$$

$$\left. \begin{array}{l} \angle F_{in} + \angle F_1 = n \cdot 2\pi \\ n=0,1,2,\dots \end{array} \right\} \longleftrightarrow \left\{ \begin{array}{l} \angle F_{out} + \angle F_2 = k \cdot 2\pi \\ k=0,1,2,\dots \end{array} \right.$$

$$|\Gamma_{\text{in}}| \geq 1 \leftarrow \text{ΑΣΤΑΘΕΙΑ } K < 1 \rightarrow |\Gamma_{\text{out}}| \geq 1$$

B. Συνδικες Ἐγραφης Ταχαρται βεων

$$\left. \begin{array}{l} |\Gamma_{in}| \cdot |\Gamma_1| > 1 \\ \angle \Gamma_{in} + \angle \Gamma_1 = n \cdot 2\pi \end{array} \right\} \xleftrightarrow{n} \left. \begin{array}{l} |\Gamma_{out}| \cdot |\Gamma_2| > 1 \\ \angle \Gamma_{out} + \angle \Gamma_2 = k \cdot 2\pi \end{array} \right\}$$

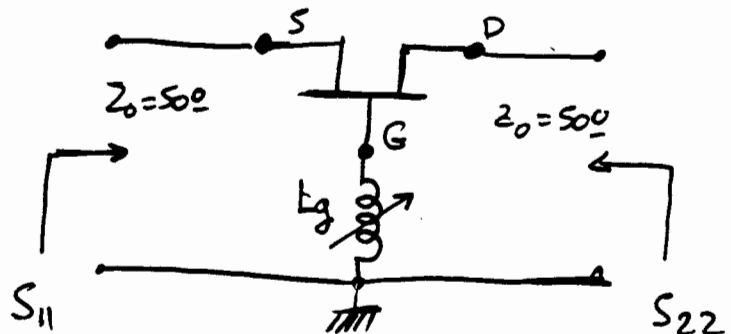
$\Sigma_{n \in \omega_6 n} : |\Gamma_{\text{in}}| > 1 \leftarrow \text{ΑΣΤΑΘΙΑ } k < 1 \rightarrow |\Gamma_{\text{out}}| > 1$

Επειδή το Transistor λειτουργεί σα Mn-Transistor ο στοιχείο
θα πρέπει να χρησιμοποιούνται (ε.τ. ανά πλαστικός) οι
παραδίκτυοι ΣΚΕΔΑΝΙΣ ΜΕΓΑΛΟΥ Επικατεύτη (Large Signal S-Diode) που
ήχρησιμοποιούνται Mn - γραφίκι και Ισοδύναμα με λευκωτέα
transistor.

Παραδείγμα : Σχεδιασμός Ταχαντεύτη Τρανζίστορ στα 4 GHz

Προτίμως Διαδικασία :

- Επιδέχεται να δυνατεί αστάθεια ($K < 1$) τρανζίστορ GaAs-FET.
- Κατά προτίμην θελούμε να εργαστεί για το οριόν της διαδικασίας μη-γραμμικό ηλεκτρικό λεβδώματος κύκλων.
- Επιλέγουμε την καταγραφή τοποθετίας (α.κ. κοινής πλάτης) και την καταγραφή αναδράτη. Μεταβάλλουμε το κύκλωμα αναδράτη για μεγιστοποίηση της αστάθειας $|S_{11}|_{max}$, $|S_{22}|_{max}$



Μεταβολή με L_g
για επιτέλυνση

$$|S_{11}|_{max} \quad |S_{22}|_{max}$$

Αυτό γίνεται με τη βοήθεια
λογισμικού προσωπικού υπολογιστή (CAD)

Εάν $|S_{11}|_{max} > |S_{22}|_{max}$ τότε ο γύρος στην πλάτη γίνεται σε δύρα-1 και το γόπιο (έξοδος) σε δύρα-2, αλλιώς γίνεται σε αντίστροφο.

Είναι οπ. βρέθηκε : (Pozar σελ. 637)

$$S_{11} = 2.18 \angle -35^\circ$$

$$S_{21} = 2.75 \angle 96^\circ$$

$$S_{22} = 0.52 \angle -155^\circ$$

$$S_{12} = 1.26 \angle 18^\circ$$

Επειδή $|S_{11}| > 1$ τότε οι κύκλοι ευστάθειας "έφεραν" στη δύρα-2 δινούν ευστάθεια μεγά σταυρών κύκλων και αστάθεια έφερε.

ΠΡΟΣΟΧΗ ! Ο γύρος στην πλάτη γίνεται ανατολικά του φορτίου εστών.

Για είναι $|\Gamma_L| < 1$ σημαίνει ότι μεταβάλλεται στο μοναδιαίο χάρτη Smith (αφού το φορτίο είναι πληντικό) και ο Γι γίνεται πρέπει να βρίσκεται μέσα στην ΑΣΤΑΘΗ περιοχή και μακριά από την ευθεαστή.

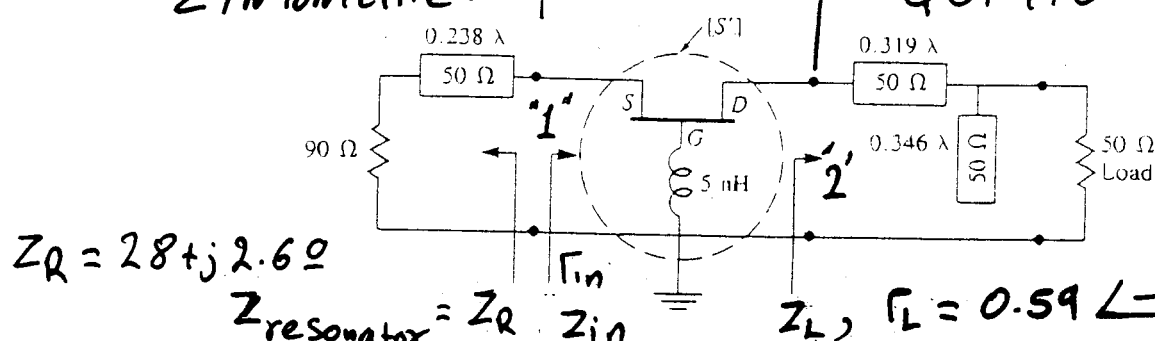
→ Μεταβάλλουμε ψηλότερ τον Γι μέσα στην αστάθη περιοχή μέχρι να πλευρώνουμε μεγιστού $|\Gamma_{in}|$ στη δύρα-1

$$\Gamma_{in, \text{dura-1}} = S_{11} + \frac{S_{12}S_{21}\Gamma_L}{1 - S_{22}\Gamma_L}$$

• Υπολογίζαρε με $Z_{in} = Z_0 \frac{1 + \Gamma_{in}}{1 - \Gamma_{in}}$
• Επιλέγαρε ΣΥΝΤΟΝΙΣΗ
 $Z_S = Z_R = |R_{in}| / 3 - jX_{in}$

Παραδειγματικό Ταχαρτικό Τρανζίστορ στα 4 GHz

ΣΥΝΤΟΜΙΣΗΣ → ΦΟΡΤΙΟ



$$\Gamma_T = 0.59 \angle -104^\circ \Rightarrow \text{Μεδίστρο } \Gamma_{in} : \Gamma_{in} = 3.94 \angle -3^\circ \Rightarrow Z_{in} = -84 - j26$$

ΕΓΓΙ: $Z_{in} = -84 - j26 \Omega$

Συνδικές Εναρφής

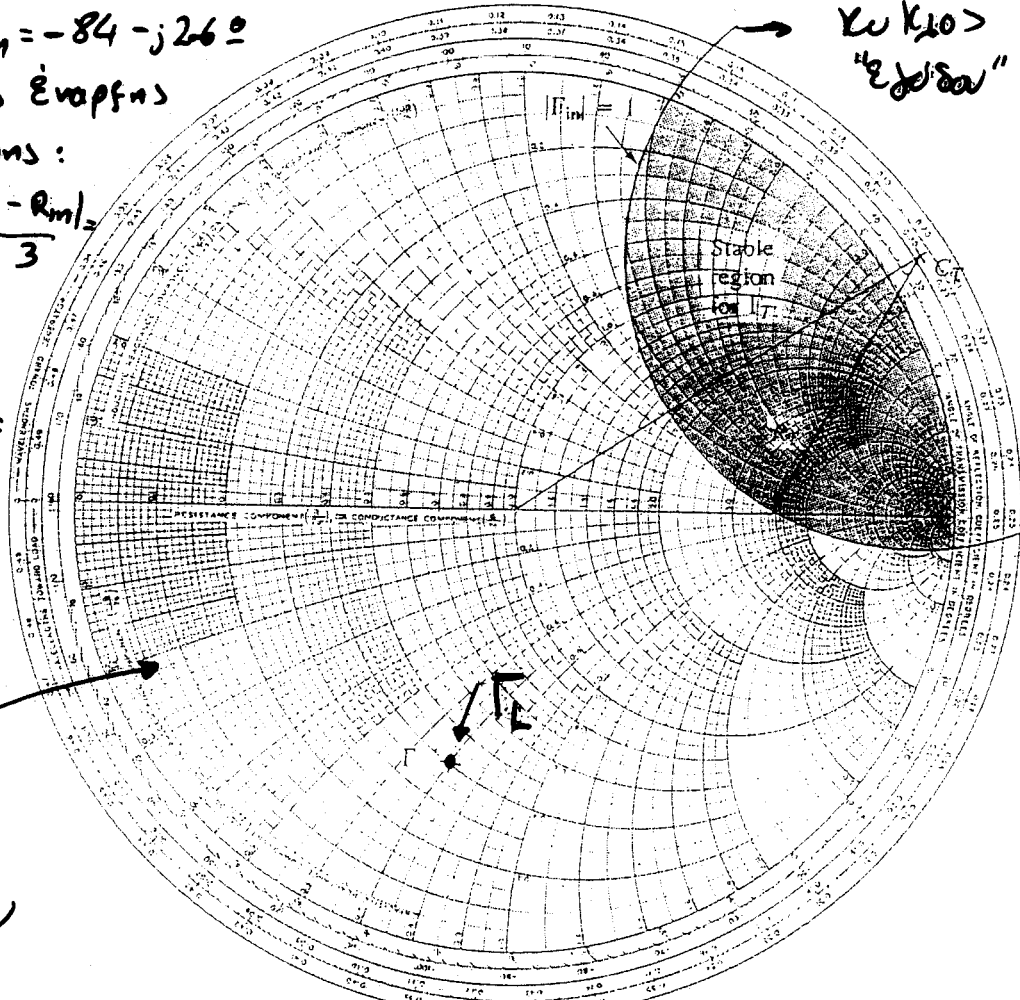
Ταχαρτωνικός:

$$Re(Z_Q) = \frac{-R_m}{3} \\ = 28 \Omega$$

$$Im(Z_Q) =$$

$$= -Im(Z_m) =$$

$$= +j2.6 \Omega$$



(b)

FIGURE 11.36 Circuit design for the transistor oscillator of Example 11.10. (a) Oscillator circuit. (b) Smith chart for determining Γ_T .

Pozar

→ Μπορεί να τελικά γίνεται ταχαρτωνικός ως διαγέρει μόνο από το 4 GHz εάν η μη-γραμμικότητα των τρανζίστορών σεν μηδενίζεται σε αυτούς τους δευτεροβάθμιους Q.

Διαδικασία Σχεδιασμού Ταχαντέτερ

1. Επιλογή Ενέργειας στοιχείου (Τρανζίστορ).

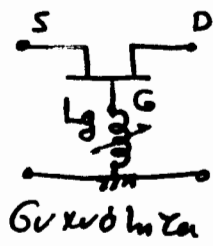
Το τρανζίστορ πρέπει να είναι δυνατής αστάθει $K < 1$
επειδή επιδυκτική δυχτική. Αποκτείνεται τρανζίστορ αν
είναι ευεργάτης ανεύ όρου ($\rightarrow K > 1$).

$$K = \frac{1 - |S_{11}|^2 - |S_{22}|^2 + |\Delta|^2}{2 |S_{12}| \cdot |S_{21}|} \quad \text{και} \quad \Delta = S_{11} S_{22} - S_{12} S_{21}$$

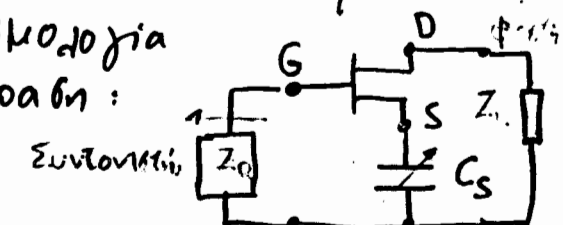
2. Επιλογή Τοποδοσίας + Κυκλώματος Αναδράσης.

Η επιλογή των "Κοινών" ακροδεξικής είναι πολύ σημαντική.
Βίβλα:

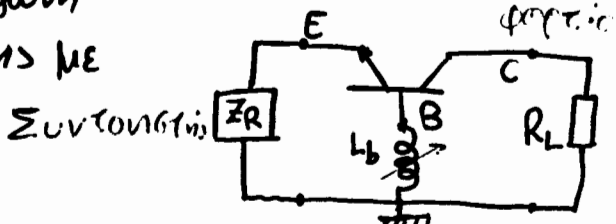
- Sweet, GEJ 212.: Για ταχαντέτερο απλής σταθερής
δυχτικής (fixed-f) ή τοποδοσίας Κοινός-Πόλυς →
είναι πολύ αποδοτική. \leftrightarrow Δινει έτσι πολύ βέβαιο
εύρος για την "Αρνητικής Αντίστασης" γύρω από την δυχτική
συντονίσμονα μετατό C_{gs} των FET και την αναδράση L_g ,
 $P_o = 1 / (2\pi \sqrt{L_g C_{gs}})$. \rightarrow Κατασκευή ανεπιδύκτιων ταχαντετών



- Sweet, GEJ 212. Για συντονιζόμενους ταχαντέτερο ευρειας
για την προτιμήση τη συνδεσμοδοσία
κοινού πολυτή με χωρητική αναδράση:



- Sweet GEJ 180. Για συντονιζόμενους ταχαντέτερο ευρειας για
αργά στην χαμηλή μικροκύματική για
προτιμάνται Si-BJT κοινού βούτη με
επιταχυγγή ληφθεί αναδράση

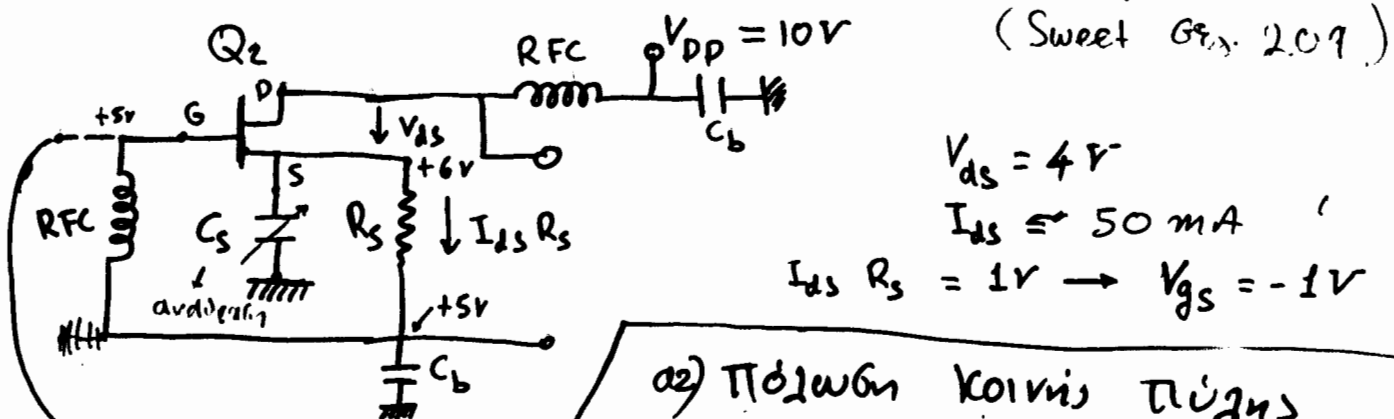


→ Χρειάζεται αρχική $\sim 12 \text{ GHz}$

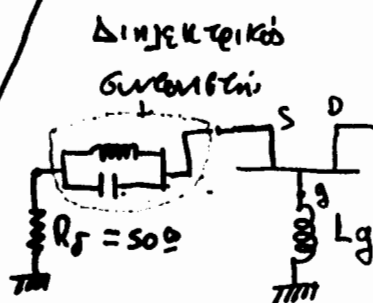
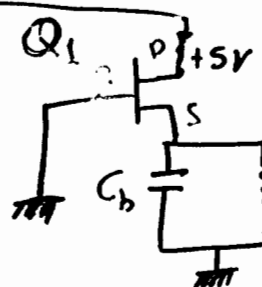
- 3. Επιλογή της d.c. Πόλων (V_{ds}, I_{ds}) και (V_{gs}, I_{gs})
GaAs-FET κοινού-πολυτή + αναδράση C_S : $(+5V, 50mA)$ $V_{bi} (-1V, 1mA)$
γενικά επιλογή της V_{gs} είναι ως $I_{ds} \approx I_{dss} / 2$

3. Επιλογής των d.c πόδων

a) GaAs-FET κοινής πύλης με χωριστή ανάφορας C_S



a) Πόδων κοινής πύλης



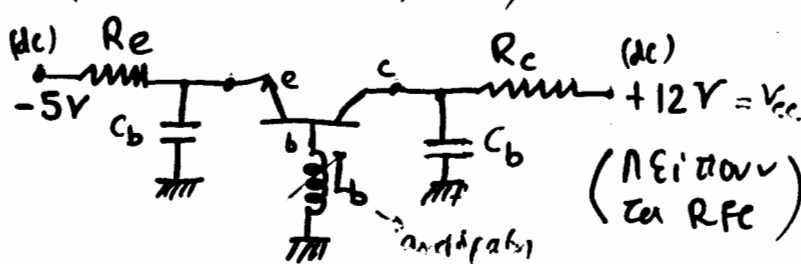
$$V_{DD} = +5V$$

$$R_S = X$$

b) Si-BJT: Διπολικό κοινής βαθμού με επαγγελματική ανάφορας
 τυπικές τικτικές (V_{CE} , I_{CE}) = (+5V, 50mA) (L_b)
 ($V_{CE} = (-1V, 20mA)$)

Παραδειγματα:

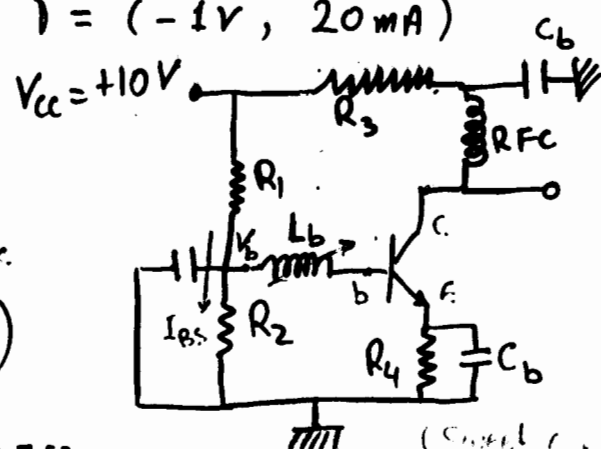
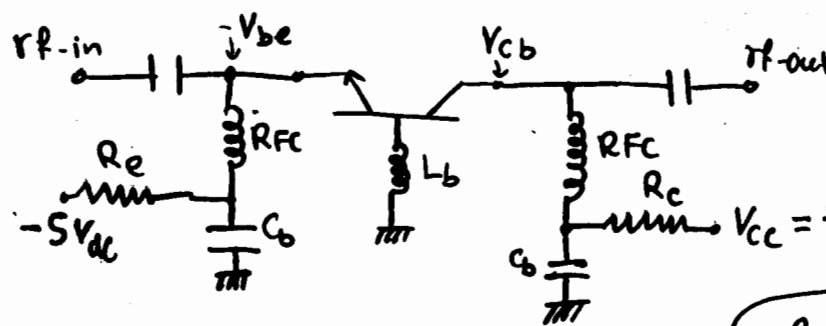
(Sweet, Fig. 197, 274)



$$I_E \approx I_c = 17mA, V_{CE} = +10V, V_{BE} = 0.7V$$

$$V_{BE} + I_E R_E = 5V \rightarrow R_E = 2.86.7\Omega$$

$$V_{CE} = I_c R_C + V_{CB} \rightarrow R_C = 133.3\Omega$$



$$V_{CE} = 8V, V_{BE} = 0.7V$$

$$I_c = 20mA, I_{BS} = 5mA$$

$$V_{CC} = I_c R_3 + V_{CE} + I_c R_1$$

$$V_{CC} = I_{BS} (R_1 + R_2) \quad | I_b \ll I_c$$

$$V_b = I_{BS} R_2 = V_{BE} + V_E$$

$$\text{ΕΓΓΡΩΣ} \quad V_E = 1V = I_c R_1$$

$$R_4 = 50\Omega, R_2 = 340\Omega, R_1 = 1660\Omega, R_3 = 50\Omega$$

4. Επιλογή - Προσδιορισμός των στοιχείων αναδράτη.

Μεταβαλλόμενες τις τιμές των στοιχείων αναδράτη $L_2 \approx C_2 \approx L_3$ (και τη βούλεια πολυγωνικό CAD)

Και προσπαθούμε να μεγιστοποιούμε τους γυρεγεγεγόντες αναδράτης στις δύο δύρες $|S_{11}|_{max}$, $|S_{22}|_{max}$ όπου και μέγιστη

επιπλέον απόσταση περιοχής $K < 1$ και $|S_{11}| > 1$, $|S_{22}| > 1$.

Για το σκοπό αυτό είναι προτιμώσερη η χρήση "Μη-γραφικού"

ηλεκτρικού λεοπάρδαλου κυκλώματος για το πραγματόπεδο.

Το σταύρο αυτό μπορεί να υλοποιηθεί κατ' έναντι της παραπομπής των ξεκούσεων ή μετρήσεων στην επιδιόρθωσης ή ρυθμίσεων.

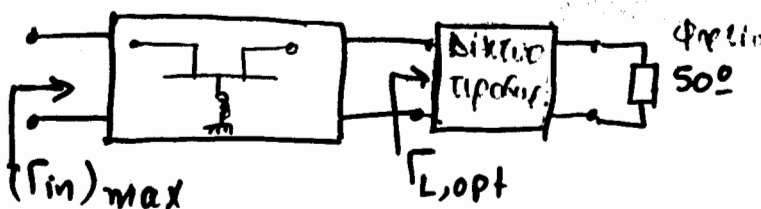
- Στη δύρα με το μεγαλύτερο γυρεγεγέντο αναδράτη θα βυθίζεται ο αναδράτης ($\text{av } |S_{11}| > |S_{22}| \rightarrow \text{στη δύρα-1}$) και επιπλέον το φορτίο εξόδου (εξόδος ταχαρτών).

5. Σχεδιασμός κύκλων ενστάσεων - Προσδιορισμός βέλτιστων φορτίων Γ_L

- Σχεδιάσουμε τους κύκλους ενστάσεων εξόδου (δύρα βυθίσεων φορτίου). (Έτσι ωρα-2.)
- Μεταβαλλόμενες τας βυθεγεστικούς αναδράτης φορτίου $|\Gamma_L|$, $\angle \Gamma_L$ μέσα στην αποτελεσματική περιοχή και σχετικά μετρικά από την ενστάση, παρατηρώντας ταυτόχρονα την είσοδο.

Ο βέλτιστος γυρεγεγέντος αναδράτης φορτίου $\Gamma_{L,opt}$ Επιλέγεται ώστε και σταυρός ο σταυρός αναδράτης στην είσοδο (Γ_{in}) γίνει μέγιστος $\rightarrow (\Gamma_{in})_{max}$

$$\text{Έτσι ωρα-1 η είσοδος} \Rightarrow \Gamma_{in} = S_{11}' = S_{11} + \frac{S_{12} S_{21}}{1 - S_{22} S_{11}} \Gamma_L$$

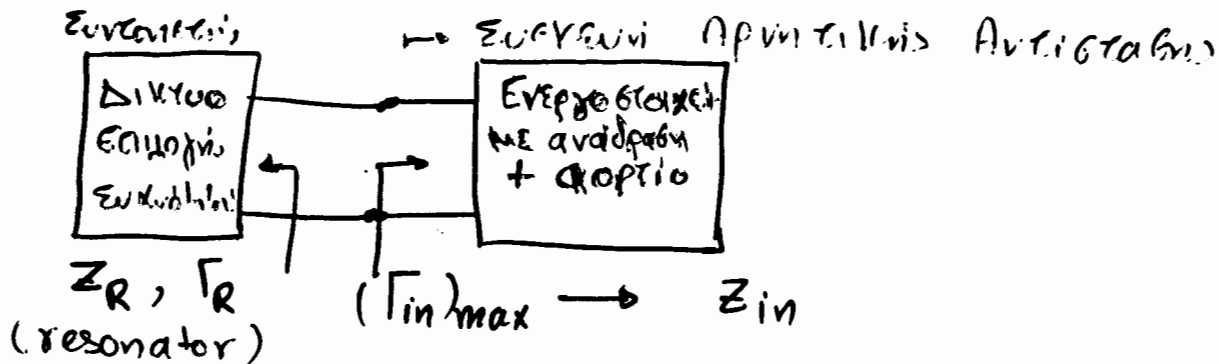


Είναι απαραίτητη η χρήση διανομής πράγματος. Η ορθή επιλογή της τιμής επιδιόρθωσης στην $\Gamma_{L,opt}$.

- Σχεδιάσουμε το δικτυo προσαρμογής εξόδου - φορτίου Έτσι ώστε η επιδιόρθωση των φορτίων 50Ω να απεικονίζεται στο φορτίο

7. Σχεδιασμός το δίκυο επιλογής σε γυχνότητα -

- ΣΥΝΤΟΜΙΣΗΣ



Όπου $\text{Re}(Z_{in}) = (-R_{in}) < 0 \Leftrightarrow$ Αποτύπωντις Αρντία

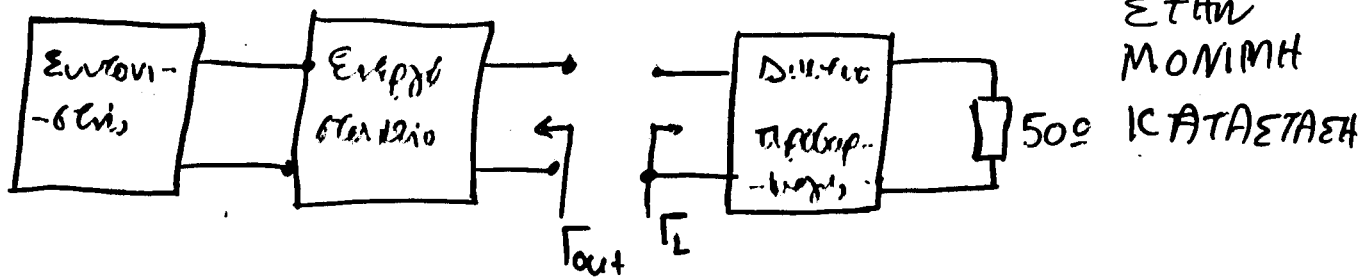
- Οι υπολογισμοί γίνονται στην επιλογή γυχνότητας γενικώς (f_0)
- Σχεδιασμός το δίκυο επιλογής γυχνότητας εστιών ως ότι
να παρουνται οι Συνθήκες Έργους Ταχύτητεων.
 $X_R(f_0) = -X_{in}(f_0)$
- $R_R(f_0) = \frac{|-R_{in}(f_0)|}{n} \quad]$ Για να διαλέξουμε $R_R = \frac{|-R_{in}|}{3}$
- Καθώς το ένεργο στοιχείο θα οδηγείται στην καρεκλή
με την συνεχή αύξηση των πλαιτών της ταχύτητας \Rightarrow
 \Rightarrow θα φθάσει την συνίκειη μόνιμης καταβάσεως:
 $X_R(f'_0) = -X_{in}(f'_0) \quad R_R = |-R_{in}(f'_0)|$

Προβοκή! Πότε την μη γραμμικότητα των ένεργων θα γίνεται
(ότου οδηγείται στην καρεκλή) η $Z_{in}(f)$ αλλάζει \Rightarrow η Τελική
γυχνότητα ταχύτευσης f'_0 διαφέρει από την ένεργη f_0 .

Επίσης! Η η την είσαγωμή των συνταστικών ο γενεράτορας
ανάγκασε έξοδο την παραγόμενη (Γ_{out}) αλλάζει αλλαγή \rightarrow Εφεύρεται η ίδια αρχή
της πολυπλοκότητας

8. Επαναποτική Διαδικασία → Για διόρθωση αποκλίσεων.

- Αφού τελειώσει ο πρώτος κύκλος ελέγχους φάσης ή αποκλίσης στην συχνότητα ταχύτητας $f_0 \rightarrow f_0'$ Είναι μεγάλη τοπική μηδενική πιθανότητα της γραμμής.
- Για να διατηρηθεί το φραγμένο αυτό θίγμα απορροφής, η χρήση μη-χρησιμής πινακίδας των γραμμών.
- Ο καλύτερος λόγος τρόπος διόρθωσης μηδενικής πιθανότητας είναι η πρόβλεψη μεταβολών στοιχείων στον συντονισμό για σειρικές ρυθμίσεις στην αράφη.
- Έ.χ. Βίδες συντονισμού σε Kolmohles - αντανακλασία
- Η βελτίωση της προβορογής έχειαν μηδενική πιθανότητα για επαναποτική διαδικασία.
- Με την καταγγέλια συντονισμού στην είσοδο προσδιορίζεται ο συντονισμός ανακλαστικής έξοδου (Γ_{out})



- Τροποποιείται το δίκυρο προβορογής ώστε να διεκπεραιώσει την επιτομή $\Gamma_L = \Gamma_{out}^*$; $\rightarrow |\Gamma_{out}| = 1 / |\Gamma_L| \quad \left. \begin{array}{l} \text{Πειραργία} \\ \Gamma_{out} + |\Gamma_L| = K \cdot 2\pi \end{array} \right\} \text{Επιδιόρθωση } f_0$